

**МАТЕМАТИЧНЕ МОДЕЛЮВАННЯ
ЕЛЕКТРОНАПРУЖЕНОГО СТАНУ ОРТОТРОПНОГО
П'ЄЗОЕЛЕКТРИЧНОГО ТІЛА З ДОВІЛЬНО ОРІЄНТОВАНОЮ
КРУГОВОЮ ТРІЩИНОЮ ЗА ОДНОВІСНОГО РОЗТЯГУ**

В.С. КИРИЛЮК, О.І. ЛЕВЧУК

Анотація. Розвинуто математичну модель для аналізу напруженого стану в ортотропному електропружному матеріалі з довільно орієнтованою круговою тріщиною. Модель ґрунтується на розгляді зв'язаної системи рівнянь статичної електропружності. Розглянуто задачу про електричний та напружений стани в ортотропному електропружному просторі з довільно орієнтованою круговою тріщиною за однорідних навантажень. Розв'язок задачі отримано за допомогою потрійного перетворення Фур'є та Фур'є-образу функції Гріна для нескінченного анізотропного п'єзоелектричного середовища. Тестування підходу виконано для випадку розташування тріщини у площині ізотропії трансверсально-ізотропного п'єзоелектричного матеріалу, для якого існує точний розв'язок задачі. Порівняння результатів обчислень підтверджує ефективність використаного підходу. Проведено числові дослідження, вивчено розподіл напружень вздовж фронту кругової тріщини за різних її орієнтацій в електропружному ортотропному матеріалі в разі одновісного розтягу.

Ключові слова: математичне моделювання, зв'язана система рівнянь електропружності, ортотропний п'єзоелектричний матеріал, кругова тріщина, довільна орієнтація, одновісний розтяг, напружений стан.

ВСТУП

Використання у процесі створення перетворювачів енергії та датчиків для вимірювальних приладів п'єзоелектричних крихких матеріалів стимулює інтерес до вивчення та аналізу розподілу напружень та концентрації силових і електричних полів у п'єзоелектричних тілах з дефектами типу порожнини, включень, тріщин. Але розв'язання просторових задач електропружності пов'язане зі значними труднощами математичного характеру, оскільки основна система рівнянь електропружності є зв'язаною стосовно силових і електричних полів системою диференціальних рівнянь у частинних похідних [1, 4], розв'язок якої отримати набагато важче, ніж розв'язок чисто пружної задачі. Тому на цей час з більшою повнотою вивчено простіші дво-

вимірні задачі електропружності, серед яких можна вирізнити праці [11, 13, 14, 23, 27], присвячені дослідженню електропружного стану як поблизу одиночних порожнин, включень, тріщин, так і у взаємодії кількох концентраторів електричних і механічних полів. У працях [5, 24] запропоновано методологічно подібні підходи до побудови загальних розв'язків зв'язаної системи тривимірних статичних рівнянь електропружності для трансверсально-ізотропних тіл, за допомогою яких отримано точні розв'язки низки задач електропружності за спеціальної орієнтації концентратора напружень відносно осі симетрії трансверсально-ізотропного електропружного матеріалу. З метою їх використання традиційно припускається, що вісь симетрії матеріалу збігається з віссю обертання концентратора напружень або вона перпендикулярна до площини розташування плоскої тріщини [6, 8–12, 16–18, 20–24, 27]. За інших орієнтацій концентратора силових та електричних полів відносно осі симетрії трансверсально-ізотропного електропружного матеріалу для тривимірних задач електропружності ці підходи є неефективними.

Відзначимо, що результати досліджень коефіцієнтів інтенсивності напружень (КІН) для кругових тріщин у пружних тілах з достатньою повнотою відображено у монографіях [3, 7, 15, 26]. Для електропружних трансверсально-ізотропних тіл (за обмежень на орієнтацію концентраторів напружень) подібні дослідження проведено у працях [6, 8, 9, 10, 16–18, 22]. Розподіл КІН для довільної орієнтації кругової тріщини відносно осі симетрії електропружного трансверсально-ізотропного матеріалу вивчено у праці [12]. Напружений і електричний стани в ортотропному електропружному матеріалі з круговою та еліптичною тріщинами у площині ортотропії матеріалу (за спеціальної орієнтації плоскої тріщини) у разі однорідних навантажень досліджено у працях [2, 17] відповідно.

У роботі вперше вивчено розподіл коефіцієнтів інтенсивності напружень для довільно орієнтованої кругової тріщини в ортотропному електропружному матеріалі за одновісного розтягу. Робота ґрунтується на узагальненні підходу [26] (для анізотропного чисто пружного простору з еліптичною тріщиною) на випадок ортотропного електропружного матеріалу. Під час розв'язання задачі використано потрійне (по просторових координатах) перетворення Фур'є, Фур'є-образ функції Гріна для електропружного анізотропного матеріалу і теорему Коші про лишки. Спеціальні контурні інтеграли, що виникають у процесі розв'язання задачі, обчислено за квадратурними формулами Гауса. Для окремого випадку (розташування тріщини у площині ізотропії електропружного трансверсально-ізотропного матеріалу) отримані результати узгоджуються з даними, знайденими іншими методами. Обчислено коефіцієнти інтенсивності напружень і коефіцієнти інтенсивності електричної індукції вздовж межі кругової тріщини за різних її орієнтацій в ортотропному п'єзоелектричному матеріалі.

ОСНОВНІ РІВНЯННЯ І ПОСТАНОВКА ЗАДАЧІ

Нехай ортотропний електропружний простір містить кругову тріщину. Припустимо, що одна з осей симетрії матеріалу збігається з віссю Oz , кут між

якою і нормаллю до площини тріщини α , а на електропружний простір діють однорідні силові та електричні поля. Наявність тріщини у матеріалі як концентратора призводить до виникнення збурень електричного і напруженого станів.

Повна система статичних рівнянь електропружності набуває такого вигляду:

рівняння рівноваги за відсутності об'ємних сил

$$\sigma_{ij,j} = 0; \quad (1)$$

рівняння вимушеної електростатики

$$D_{i,i} = 0; E_i = -\Psi_{,i}; \quad (2)$$

співвідношення Коші

$$\varepsilon_{ij} = \frac{1}{2}(u_{i,j} + u_{j,i});$$

рівняння стану

$$\sigma_{ij} = C_{ijmn}\varepsilon_{mn} + e_{nij}\Psi_{,n}; D_i = e_{imn}\varepsilon_{mn} - k_{in}\Psi_{,n}, \quad (3)$$

де σ_{ij} , ε_{ij} , u_i , D_i , E_i , Ψ — компоненти напружень, деформацій, переміщень, електричних переміщень (електричної індукції), напруженість електричного поля і електричний потенціал відповідно. Також уведено позначення тензорів: C_{ijmn} , e_{imn} , k_{ij} — пружні модулі, п'езомодулі, діелектричні проникності. Для п'езоелектричних тіл, які є ортотропними за своїми властивостями, пружні характеристики матеріалу описуються дев'ятьма незалежними сталими $c_{11}, c_{22}, c_{33}, c_{12}, c_{13}, c_{23}, c_{44}, c_{55}, c_{66}$, п'езомодулі — п'ятьма величинами $e_{15}, e_{24}, e_{31}, e_{32}, e_{33}$, діелектричні проникності — трьома незалежними сталими k_{11}, k_{22}, k_{33} . Компоненти вказаних тензорів пов'язані з відповідними незалежними сталими таким чином:

$$C_{1111} = c_{11}; C_{2222} = c_{22}; C_{3333} = c_{33}; C_{1122} = C_{2211} = c_{12};$$

$$C_{1133} = C_{3311} = c_{13}; C_{2233} = C_{3322} = c_{23}; C_{2323} = C_{2332} = C_{3232} = C_{3223} = c_{44};$$

$$C_{3131} = C_{3113} = C_{1331} = C_{1313} = c_{55}; C_{1212} = C_{1221} = C_{2121} = C_{2112} = c_{66}; \quad (4)$$

$$e_{113} = e_{131} = e_{15}; e_{223} = e_{232} = e_{24}; e_{311} = e_{31}; e_{322} = e_{32}; e_{333} = e_{33}; k_{11}; k_{22}; k_{33}.$$

Інші компоненти цих трьох тензорів дорівнюють нулю.

Відзначимо, що зі співвідношень (1)–(3) і наведених компонентів тензорів (4) впливають рівняння статички електропружного ортотропного тіла стосовно переміщень та електричного потенціалу.

Для розв'язання задачі зручно ввести нову систему координат, у якій напрямок однієї з осей збігається з напрямком нормалі до площини тріщини. Припустимо, що вихідна система координат $Oxuz$ залежить від нової (локальної) системи $Ox^1y^1z^1$, оскільки вона отримана з вихідної системи

координат обертанням навколо осі Ox на кут α . Тоді тензори пружних модулів, п'езомодулів і діелектричних сталей C_{ijkl}^α , e_{ijk}^α , k_{ij}^α у новій системі координат отримаємо за допомогою перетворень тензорів відповідних рангів: $C_{ijkl}^\alpha = C_{mnpk} \alpha_{im} \alpha_{jn} \alpha_{kp} \alpha_{lq}$; $e_{ijk}^\alpha = e_{mnp} \alpha_{im} \alpha_{jn} \alpha_{kp}$; $k_{ij}^\alpha = k_{mn} \alpha_{im} \alpha_{jn}$, де α_{ij} — матриця перетворення вигляду

$$\alpha_{ij} = \begin{bmatrix} 1 & 0 & 0 \\ 0 & \cos \alpha & -\sin \alpha \\ 0 & \sin \alpha & \cos \alpha \end{bmatrix}. \quad (5)$$

Довільну орієнтацію тріщини у матеріалі можна отримати за допомогою послідовного обертання на кути α, β, γ навколо осей старої системи координат $0x, 0y, 0z$ відповідно. Тоді матриця перетворень T_{ij} матиме вигляд

$$T_{ij} = \begin{bmatrix} \cos \beta \cos \gamma & -\cos \beta \sin \gamma & \sin \beta \\ \sin \alpha \sin \beta \cos \gamma + \cos \alpha \sin \gamma & \sin \alpha \sin \beta \sin \gamma + \cos \alpha \cos \gamma & -\sin \alpha \cos \beta \\ -\cos \alpha \sin \beta \cos \gamma + \sin \alpha \sin \gamma & \cos \alpha \sin \beta \sin \gamma + \sin \alpha \cos \gamma & \cos \alpha \cos \beta \end{bmatrix}.$$

Вона є результатом послідовного перемноження трьох матриць, подібних до виразу (5), що відображають праві обертання навколо кожної з осей координат:

$$\alpha_{ij} = \begin{bmatrix} 1 & 0 & 0 \\ 0 & \cos \alpha & -\sin \alpha \\ 0 & \sin \alpha & \cos \alpha \end{bmatrix}; \quad \beta_{ij} = \begin{bmatrix} \cos \beta & 0 & \sin \beta \\ 0 & 1 & 0 \\ -\sin \beta & 0 & \cos \beta \end{bmatrix}; \quad \gamma_{ij} = \begin{bmatrix} \cos \gamma & \sin \gamma & 0 \\ \sin \gamma & \cos \gamma & 0 \\ 0 & 0 & 1 \end{bmatrix}.$$

Нові тензори пружних модулів, п'езомодулів і діелектричних сталей $C_{ijkl}^{(\alpha, \beta, \gamma)}$, $e_{ijk}^{(\alpha, \beta, \gamma)}$, $k_{ij}^{(\alpha, \beta, \gamma)}$ отримаємо за допомогою перетворень тензорів відповідних порядків:

$$C_{ijkl}^{(\alpha, \beta, \gamma)} = C_{mnpk} T_{im} T_{jn} T_{kp} T_{lq}; \quad e_{ijk}^{(\alpha, \beta, \gamma)} = e_{mnp} T_{im} T_{jn} T_{kp}; \quad k_{ij}^{(\alpha, \beta, \gamma)} = k_{mn} T_{im} T_{jn},$$

де за індексами, що повторюються, виконується підсумовування.

Далі у тексті роботи використано звичайний тензорний запис виразів, тобто за індексами, що повторюються у виразах, виконується підсумовування. Без жодних змін у схемі розв'язання задачі замість перетворення T_{ij} , зумовленого обертанням навколо осей координат $0x, 0y, 0z$, цілком аналогічно можна було б увести інше перетворення, наприклад, з використанням кутів Ейлера. Але для наочності у роботі вибрано перетворення, що відповідає послідовним обертанням навколо трьох різних осей координат.

Для опису електропружного стану введемо більш уніфіковані позначення [12], на основі яких запишемо такі вирази:

Пружні переміщення і електричний потенціал

$$U_M = \begin{cases} u_m, & M = 1, 2, 3; \\ \Psi, & M = 4. \end{cases} \quad (6)$$

Пружні деформації або електричне поле

$$Z_{Mn} = \begin{cases} \varepsilon_{mn}, & M = 1, 2, 3; \\ \Psi_n, & M = 4. \end{cases} \quad (7)$$

Напруження або електричні переміщення

$$\Sigma_{iJ} = \begin{cases} \sigma_{ij}, & J = 1, 2, 3; \\ D_i, & j = 4. \end{cases} \quad (8)$$

Електропружні модулі

$$E_{iJMn}^{(\alpha, \beta, \gamma)} = \begin{cases} C_{ijmn}^{(\alpha, \beta, \gamma)}, & J, M = 1, 2, 3; \\ e_{nij}^{(\alpha, \beta, \gamma)}, & J = 1, 2, 3; M = 4; \\ e_{imn}^{(\alpha, \beta, \gamma)}, & J = 4; M = 1, 2, 3; \\ -k_{in}^{(\alpha, \beta, \gamma)}, & J, M = 4. \end{cases} \quad (9)$$

За допомогою позначень (6)–(9) рівняння стану (3) можна подати як

$$\Sigma_{iJ} = E_{iJMn}^{(\alpha, \beta, \gamma)} Z_{Mn}. \quad (10)$$

Задачу для плоскої кругової тріщини не поділяють, як у випадку розташування тріщини в площині ізотропії для трансверсально-ізотропного матеріалу, на дві — симетричну і антисиметричну. Її розглядають у загальній постановці, коли у граничні умови одночасно входять і нормальні, і дотичні зусилля, а також нормальна складова вектора електричної індукції на поверхні тріщини. За однорідних силових і електричних навантажень маємо такі граничні умови:

$$\tau_{13}^{\pm}|_S = f^{(\alpha, \beta, \gamma)}; \quad \tau_{23}^{\pm}|_S = g^{(\alpha, \beta, \gamma)};$$

$$\sigma_{33}^{\pm}|_S = -P^{(\alpha, \beta, \gamma)}; \quad D_3^{\pm}|_S = -D^{(\alpha, \beta, \gamma)}; \quad U_M(\vec{x}) \rightarrow 0, \text{ якщо } |\vec{x}| \rightarrow \infty,$$

де S — поверхня тріщини, віднесена до нової системи координат (отримана послідовним обертанням на кути α, β, γ навколо осей старої системи); навантаження подано у новій системі координат. За заданого основного напруженого стану та електричної індукції в середовищі і вільної від силових і електричних навантажень поверхні тріщини, виразивши електронапружений стан суперпозицією основного і збуреного станів, отримаємо граничні умови для визначення збуреного стану.

МЕТОД РОЗВ'ЯЗАННЯ

Функція Гріна $G_{IJ}(\vec{x} - \vec{x}')$ для нескінченного електропружного анізотропного простору (фундаментальний розв'язок) задовольняє рівняння:

$$E_{kJMn}^{(\alpha, \beta, \gamma)} G_{JM, kn} + \delta_{JM} \delta(\vec{x} - \vec{x}') = 0; \quad (11)$$

де $\delta(\bar{x} - \bar{x}')$ — дельта функція Дірака; δ_{JM} — символ Кронекера. Кома після індексу означає диференціювання за відповідною змінною. Скористаємось інтегральним виразом фундаментального розв'язку

$$G_{JM}(\bar{x} - \bar{x}') = \frac{1}{(2\pi)^3} \int_{-\infty}^{\infty} \int_{-\infty}^{\infty} \int_{-\infty}^{\infty} A_{JM}(\bar{\xi}) D^{-1}(\bar{\xi}) e^{i\bar{\xi} \cdot (\bar{x} - \bar{x}')} d\xi_1 d\xi_2 d\xi_3, \quad (12)$$

де $A_{JM}(\bar{\xi})$ — відповідні алгебричні доповнення елементів матриці

$$\{K_{JM}(\bar{\xi})\} = \{E_{iJMn}^{(\alpha, \beta, \gamma)} \xi_i \xi_n\}; \quad (13)$$

$D(\bar{\xi})$ — її визначник, який є багаточленом восьмого порядку.

Використовуючи у подальших перетвореннях вирази (10)–(13), подамо збудований електричний і напружений стани, узагальнюючи чисто пружний випадок, за допомогою невідомих стрибків переміщень і електричного потенціалу через двосторонню поверхню тріщини:

$$U_I(\bar{x}) = \frac{1}{4\pi^2} \sum_{N=1-\infty}^{\infty} \int_{-\infty}^{\infty} \int_{-\infty}^{\infty} \frac{E_{IJM3}^{(\alpha, \beta, \gamma)} \xi_l^N A_{IJ}(\bar{\xi}^N)}{\partial D(\bar{\xi}^N) / \partial \xi_3} \iint_S b_M(\bar{x}') e^{-i\bar{\xi}^N \cdot (\bar{x} - \bar{x}')} d\xi_1 d\xi_2 dx'_1 dx'_2, \quad (14)$$

де для кругової тріщини невідомий вектор $\vec{b}(\bar{x})$ набуває вигляду

$$\vec{b}(\bar{x}) = \vec{b}^{(0)} (1 - x_1^2/a^2 - x_2^2/a^2)^{1/2}; \quad (15)$$

a — радіус кругової тріщини; $\vec{b}^{(0)}$ — сталий вектор четвертого порядку, компоненти якого у загальному випадку є комплексними числами. Підсумування у формулі (14) з використанням виразу (15) виконуємо для ξ_3^M — коренів рівняння $D(\bar{\xi}) = 0$ з від'ємною уявною частиною для $x_3 > 0$; вектор $\vec{\xi}^M$ має вигляд $\vec{\xi}^M = (\xi_1, \xi_2, \xi_3^M(\xi_1, \xi_2))$. Компоненти напружень і електричної індукції визначаємо за виразом

$$\begin{aligned} \Sigma_{iJ}(\bar{x}) &= E_{iJKl}^{(\alpha, \beta, \gamma)} U_{K,l} = \\ &= \left(\frac{-i}{4\pi^2} \right) \sum_{N=1-\infty}^{\infty} \int_{-\infty}^{\infty} \int_{-\infty}^{\infty} \iint_S \frac{E_{iJKl}^{(\alpha, \beta, \gamma)} E_{pQM3}^{(\alpha, \beta, \gamma)} \xi_p^N \xi_l^N A_{KQ}(\bar{\xi}^N)}{\partial D(\bar{\xi}^N) / \partial \xi_3} \times \\ &\quad \times b_M(\bar{x}') e^{-i\bar{\xi}^M \cdot (\bar{x} - \bar{x}')} d\xi_1 d\xi_2 dx_1 dx_2. \end{aligned}$$

Використовуючи перетворення, аналогічні пружному випадку [26], у площині тріщини за однорідних силових і електричних навантажень у матеріалі знаходимо компоненти напружень і електричної індукції в площині тріщини у вигляді

$$\Sigma_{iJ}(\bar{x}) = \left(\frac{-i}{4} \right) \int_0^{2\pi} \sum_{N=1}^4 F_{iJM}^{(\alpha, \beta, \gamma)} (\eta_1/a_1, \eta_2/a_2, \xi_3^N(\eta_1/a_1, \eta_2/a_2)) b_M^{(0,0)} d\varphi, \quad (16)$$

де функція

$$F_{iJM}^{(\alpha,\beta,\gamma)}(\xi_1, \xi_2, \xi_3) = E_{iJKL}^{(\alpha,\beta,\gamma)} E_{pQMN}^{(\alpha,\beta,\gamma)} \xi_p^N \xi_l^N \frac{A_{KQ}(\vec{\xi}^N)}{\partial D(\vec{\xi}^N) / \partial \xi_3}. \quad (17)$$

Одновимірний інтеграл у формулах (16) (з використанням позначень (17)) обчислюємо за квадратурними формулами Гауса.

Після додаткового аналізу асимптотичних виразів для напружень і електричної індукції в площині тріщини і, скоротившись визначенням коефіцієнтів інтенсивності напружень K_I, K_{II}, K_{III} та електричної індукції K_D , отримуємо:

$$k_{iJ} = i\sqrt{\pi a} (x_1^2/a_1^4 + x_2^2/a_2^4)^{-1/4} \sum_{N=1}^4 F_{iJM}(x_1/a_1^2, x_2/a_2^2, \xi_3^N(x_1/a_1^2, x_2/a_2^2)) b_M^{(0,0)};$$

$$K_I = k_{33}; K_{II} = k_{31}n_1 + k_{32}n_2; K_{III} = k_{31}(-n_2) + k_{32}n_1; K_{IV} = K_D = k_{34}. \quad (18)$$

Для кругової тріщини компоненти вектора нормалі мають вигляд $n_1 = (x_1/a^2)/(x_1^2/a^4 + x_2^2/a^4)^{1/2}; n_2 = (x_2/a^2)/(x_1^2/a^4 + x_2^2/a^4)^{1/2}$. Використовуючи для обчислення одновимірних інтегралів метод квадратур Гауса і задовольняючи граничні умови на поверхні тріщини, знаходимо невідомі значення стрибків переміщень і електричної індукції, а потім за формулами (18) обчислюємо коефіцієнти інтенсивності напружень і електричної індукції.

Для апробації використовуваного підходу спочатку розглянемо задачу про кругову тріщину в електропружному трансверсально-ізотропному матеріалі, яка розташована у площині його ізотропії, за сталого тиску P_0 на поверхні тріщини та зсувних зусиль $\sigma_{13}^0 \neq 0$. Нормальна компонента електричної індукції D_3^0 у розгляді задачі вважалась нульовою. У цьому випадку коефіцієнти інтенсивності напружень K_I згідно з результатами праці [16] не залежать від властивостей матеріалу і збігаються з їх виразом для чисто пружного ізотропного матеріалу (для такої самої форми тріщини і того ж симетричного навантаження), а значення $K_D = 0$. Водночас коефіцієнти інтенсивності напружень K_{II}, K_{III} у разі зсуву залежать від пружних і електричних властивостей матеріалу [14]. Згідно з дослідженнями [14] для знаходження КІН K_{II}, K_{III} в електропружному трансверсально-ізотропному матеріалі з плоскою тріщиною у площині ізотропії матеріалу достатньо взяти їх вирази для ізотропного пружного матеріалу за тих самих зсувних навантажень, а замість коефіцієнта Пуасона ν у відповідних виразах КІН підставити значення ν_{PIEZO} , яке обчислюється з урахуванням властивостей електропружного матеріалу за спеціальною процедурою. Оскільки формула для визначення цієї величини надто громіздка, а процедура її отримання детально описана у праці [14], наведемо значення ν_{PIEZO} для окремих п'єзоелектричних матеріалів у таблиці [14]. Вихідні дані про електричні і пружні властивості відповідають наведеним у працях [1, 9, 12, 14] характеристикам. Значення ν_{ELAST} , знайдено тільки за пружними властивостями трансверсально-ізотропного матеріалу (без урахування його електричних властивостей) згідно з результатами [14]. Значення $\nu_{CONTROL}$ отримано

з виразу ν_{PIEZO} за наявності дуже слабких електричних властивостей у матеріалів (під час розрахунків їх знайдено домноженням значень п'езомодулів e_{31} , e_{15} , e_{33} і діелектричних проникностей k_{11} , k_{33} відповідних матеріалів на 10^{-12}). Видно, що згідно з даними таблиці значення $\nu_{CONTROL}$ і ν_{ELAST} збігаються з високою точністю.

Значення ν_{PIEZO} для деяких електропружних матеріалів

Значення	PZT-4	PXE-5	ЦТС-19	PZT-5	PZT-7A	BaTiO3	PZT-5H
ν_{PIEZO}	0,48513	0,48815	0,45958	0,51190	0,47324	0,34369	0,37867
ν_{ELAST}	0,35034	0,34591	0,36359	0,36965	0,35239	0,29768	0,30074
$\nu_{CONTROL}$	0,35034	0,34591	0,36359	0,36965	0,35239	0,29768	0,30074

Згідно з результатами праць [13, 14] для електропружного простору, що містить дископодібну тріщину, за внутрішнього тиску P_0 на поверхні тріщини і зсуву σ_{13}^0 у п'єзоелектричному матеріалі маємо такі вирази КІН уздовж фронту тріщини:

$$K_I = \frac{2}{\sqrt{\pi}} (P_0 \sqrt{a}); \quad K_{II} = \frac{4}{(2 - \nu_{PIEZO}) \sqrt{\pi}} (\sigma_{13}^0 \sqrt{a}) \cos \varphi;$$

$$K_{III} = \frac{-4(1 - \nu_{PIEZO})}{(2 - \nu_{PIEZO}) \sqrt{\pi}} (\sigma_{13}^0 \sqrt{a}) \sin \varphi. \quad (19)$$

Для апробації використовуваного підходу виконано розрахунки КІН K_I , K_{II} і K_{III} для випадку розташування кругової тріщини у площині ізотропії електропружного трансверсально-ізотропного матеріалу за допомогою аналітичних виразів (19) і (18). Для п'єзоелектричних матеріалів з таблиці результати досліджень узгоджувались між собою (до 7 значущих цифр). Для обчислень одновимірних інтегралів у виразах (16) використано квадратурну формулу Гауса за 24 вузлами.

Подальше тестування підходу та розробленої на його основі комп'ютерної програми для електропружного ортотропного матеріалу з круговою тріщиною для окремих випадків (довільно орієнтована дископодібна тріщина у пружному ортотропному та електропружному трансверсально-ізотропному матеріалах, кругова тріщина у площині ортотропії електропружного ортотропного матеріалу) підтвердило узгодженість результатів досліджень з даними праць [2, 12, 15].

АНАЛІЗ РЕЗУЛЬТАТІВ ЧИСЛОВИХ ДОСЛІДЖЕНЬ

Розглянемо такі матеріали: 1) п'єзоелектричний ортотропний матеріал $Ba_2NaNb_5O_{15}$, електропружні властивості якого (усього 17 незалежних параметрів) наведено у праці [3]; 2) електропружний п'єзокерамічний матеріал PZT-4 (10 незалежних електропружних параметрів, значення яких наведено у праці [1]); 3) пружний ортотропний матеріал, пружні властивості якого

(усього 9 незалежних параметрів) відповідають значенням ортогонально-армованого 2:1 склопластику і наведені у праці [18]. Вважатимемо, що кругова тріщина довільним чином розташована в електропружному матеріалі, її орієнтація визначається кутом обертання α навколо осі Ox і відповідно матрицею перетворення координат (5). На рис. 1, 2, 3 зображено зміну КІН K_I вздовж фронту кругової тріщини одиничного радіуса у п'єзоелектричному ортотропному матеріалі $Ba_2NaNb_5O_{15}$, електропружному п'єзокерамічному матеріалі PZT-4 і ортогонально-армованому 2:1 склопластику відповідно для різних випадків орієнтації кругової тріщини. Криві 1, 2, 3, 4 на цих рисунках відповідають значенням $\alpha = 0^\circ; 30^\circ; 60^\circ; 90^\circ$ для випадку одновісного розтягу в напрямку, перпендикулярному до площини розташування тріщини.

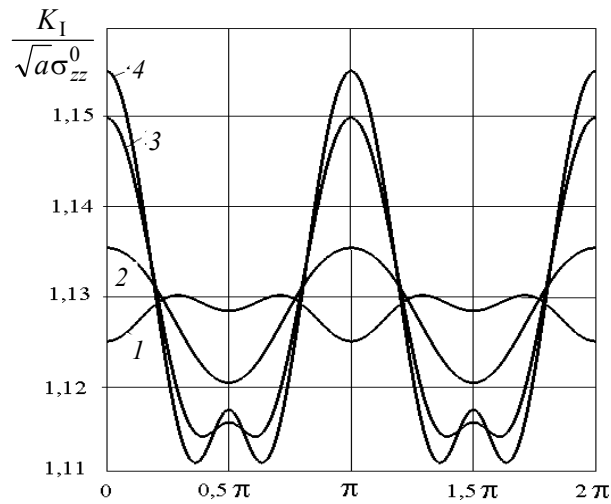


Рис. 1

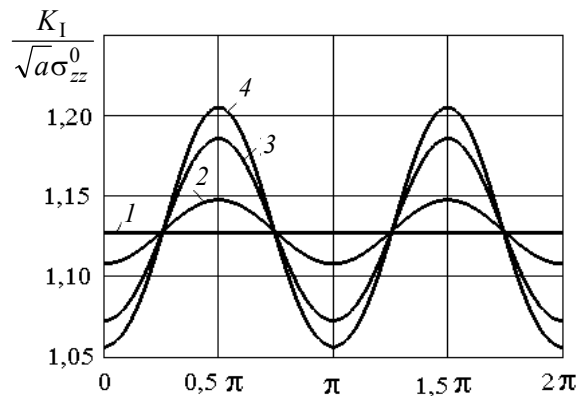


Рис. 2

Видно, що орієнтація тріщини у матеріалі істотно впливає на значення і характер розподілу коефіцієнтів інтенсивності напружень уздовж фронту тріщини. В окремих випадках вплив орієнтації на значення КІН K_I перевищував 22%.

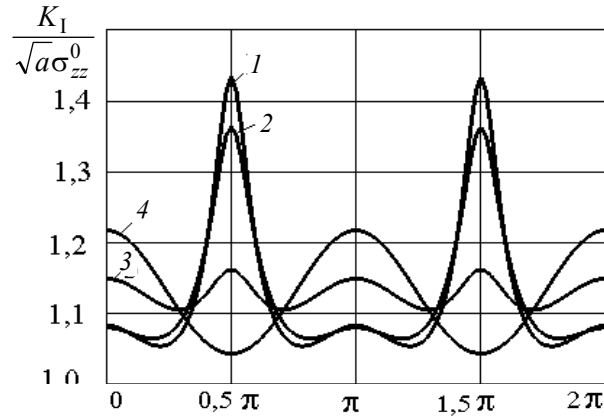


Рис. 3

На рисунках 4, 5 відображено появу ненульових значень коефіцієнтів інтенсивності напружень K_{II} і K_{III} за симетричного навантаження (одновісного розтягу) за рахунок орієнтації тріщини у K_{II} і K_{III} ортогонально-армованому 2:1 склопластику (якщо її розташування не в площині симетрії матеріалу).

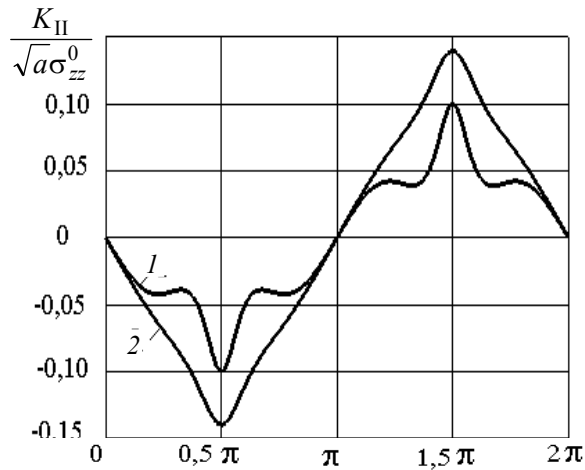


Рис. 4

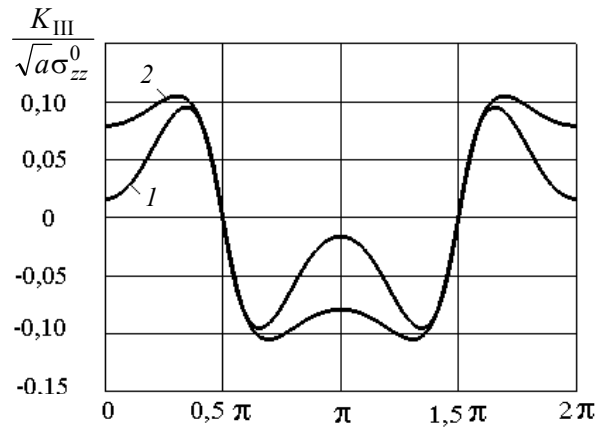


Рис. 5

Криві 1 і 2 на цих рисунках відповідають значенням $\alpha = 30^\circ$ і $\alpha = 60^\circ$. Для матеріалів $Ba_2NaNb_5O_{15}$ і PZT-4 у разі розташування тріщини не в площині симетрії матеріалу внаслідок симетричного навантаження також виникають ненульові значення КІН K_{II} і K_{III} , але за величиною вони дещо менші, ніж для ортогонально-армованого 2:1 склопластику.

ВИСНОВОК

У роботі за допомогою математичної моделі, що враховує зв'язаність силових і електричних полів у матеріалі, досліджено електронапружений стан у ортотропному п'єзоелектричному просторі з довільно орієнтованою круговою тріщиною. Вивчено розподіл напружень вздовж фронту кругової тріщини для різних випадків її орієнтації у матеріалі за одновісного розтягу.

ЛІТЕРАТУРА

1. Гринченко В.Т. Электроупругость / В.Т. Гринченко, А.Ф. Улитко, Н.А. Шульга // Механика связанных полей в элементах конструкций: в 6 т.; Т. 1. — К.: Наук. думка, 1989. — 279 с.
2. Кирилюк В.С. Математическое моделирование и анализ напряженного состояния в ортотропной пьезоэлектрической среде с круговой трещиной / В.С. Кирилюк, О.И. Левчук, Е.В. Гавриленко // Системні дослідження та інформаційні технології. — 2017. — № 3. — С.117–126.
3. Шульга М.О. Резонансні електромеханічні коливання п'єзоелектричних пластин / М.О. Шульга, В.Л. Карлаш. — К.: Наук. думка, 2008. — 270 с.
4. Chen W.Q. 3D point force solution for a permeable penny-shaped crack embedded in an infinite transversely isotropic piezoelectric medium / W.Q. Chen, C.W. Lim // Int. J. Fract. — 2005. — **131**, N 3. — P. 231–246.
5. Chen W.Q. Exact three-dimensional solutions of laminated orthotropic piezoelectric rectangular plates featuring interlaminar bonding imperfections modeled by a general spring layer / W.Q. Chen, J.B. Cai, G.R. Ye, Y.F. Wang // International Journal of Solids and Structures. — 2004. — **41**, N 18–19. — P. 5247–5263.
6. Chiang C.R. The nature of stress and electric-displacement concentrations around a strongly oblate cavity in a transversely isotropic piezoelectric material / C.R. Chiang, G.J. Weng // Int. J. Fract. — 2005. — **134**, N 3–4. — P. 319–337.
7. Dai L. Stress concentration at an elliptic hole in transversely isotropic piezoelectric solids / L. Dai, W. Guo, X. Wang // Int. J. Solids and Struct. — 2006. — **43**, N 6. — P. 1818–1831.
8. Dunn M.L. Electroelastic field concentrations in and around inhomogeneities in piezoelectric solids / M.L. Dunn, M. Taya // J. Appl. Mech. — 1994. — **61**, N 4. — P. 474–475.
9. Kaloerov S.A. Problem of Electromagnetoviscoelasticity for Multiply Connected Plates / S.A. Kaloerov, A.A. Samodurov // International Applied Mechanics. — 2015. — **51**, N 6. — P.623–639.
10. Kaloerov S.A. Determining the intensity factors for stresses, electric-flux density, and electric-field strength in multiply connected electroelastic anisotropic media / S.A. Kaloerov // Int. Appl. Mech. — 2007. — **43**, N 6. — P. 631–637.
11. Karnaukhov V.G. Forced Resonant Vibrations and Self-Heating of Solids of Revolution Made of a Viscoelastic Piezoelectric Material / V.G. Karnaukhov, V.I. Kozlov, A.V. Zavgorodnii, I.N. Umrykhin // International Applied Mechanics. — 2015. — **51**, N 6. — P. 614–622.
12. Kirilyuk V.S. Elastic state of a transversely isotropic piezoelectric body with an arbitrarily oriented elliptic crack / V.S. Kirilyuk // Int. Appl. Mech. — 2008. — **44**, N 2. — P. 150–157.

13. Kirilyuk V.S. On the stress state of a piezoceramic body with a flat crack under symmetric loads / V.S. Kirilyuk // *Int. Appl. Mech.* — 2005. — **41**, N 11. — P. 1263–1271.
14. Kirilyuk V.S. Stress state of a piezoelectric ceramic body with a plane crack under antisymmetric loads / V.S. Kirilyuk // *Int. Appl. Mech.* — 2006. — **42**, N 2. — P. 152–161.
15. Kirilyuk V.S. Stress state of an elastic orthotropic medium with elliptical crack under tension and shear / V.S. Kirilyuk // *International Applied Mechanics.* — 2005. — **41**, N 4. — P.358–366.
16. Kirilyuk V.S. Thermostressed state of a piezoelectric body with a plane crack under symmetric thermal load / V.S. Kirilyuk // *International Applied Mechanics.* — 2008. — **44**, N 3. — P. 320–330.
17. Kirilyuk V.S. Stress State of an Orthotropic Piezoelectric Material with an Elliptic Crack / V.S. Kirilyuk, O.I. Levchuk // *International Applied Mechanics.* — 2017. — **53**, N 3. — P.305–312.
18. Lekhnitskii S.G. *Theory of Elasticity of an Anisotropic Body (in English)* / S.G. Lekhnitskii. — Moscow: Mir Publ. — 1981. — 430 p.
19. Lin S. Electroelastic analysis of a penny-shaped crack in a piezoelectric ceramic under mode I loading / S. Lin, F. Narita, Y. Shindo // *Mech. Res. Com.* — 2003. — **30**, N 4. — P. 371–386.
20. Podil'chuk Yu.N. Representation of the general solution of statics equations of the electroelasticity of a transversally isotropic piezoceramic body in terms of harmonic functions / Yu.N. Podil'chuk // *International Applied Mechanics.* — 1998. — **34**, N 7. — P. 623–628.
21. Podil'chuk Yu.N. Electroelastic equilibrium of transversally isotropic, piezoceramic media containing cavities, inclusions, and cracks / Yu. N. Podil'chuk // *International Applied Mechanics.* — 1998. — **34**, N 10. — P.1023–1034.
22. Shang F. Theoretical investigation of an elliptical crack in thermopiezoelectric material. Part 1: Analytical development / F. Shang, M. Kuna, T. Kitamura // *Theor. Appl. Fract. Mech.* — 2003. — **40**, N 3. — P. 237–246.
23. Sladek J. Crack analyses in porous piezoelectric brittle materials by the SBFEM // *Engineering Fracture Mechanics* / J. Sladek, V. Sladek, S. Krahulec, C. Song. — 2016. — V. 160. — P. 78–94.
24. Wang Y.J. The anti-plane solution for the edge cracks originating from an arbitrary hole in a piezoelectric material / Y.J. Wang, C.F. Gao, H.P. Song // *Mechanics Research Communications.* — 2015. — V. 65. — P. 17–23.
25. Wang Z.K. The general solution of three-dimension problems in piezoelectric media / Z.K. Wang, B.L. Zheng // *Int. J. Solids Structures.* — 1995. — **32**, N 1. — P. 105–115.
26. Willis J.R. The stress field around an elliptical crack in an anisotropic elastic medium / J.R. Willis // *Int. J. Eng. Sci.* — 1968. — **6**, N 5. — P. 253–263.
27. Zhang T.Y. Fracture behaviors of piezoelectric materials / T.Y. Zhang, C.F. Gao // *Theor. Appl. Fract. Mech.* — 2004. — **41**, N 1–3. — P. 339–379.
28. Zhao M.H. Singularity analysis of planar cracks in three-dimensional piezoelectric semiconductors via extended displacement discontinuity boundary integral equation method / M.H. Zhao, Y. Li, Y. Yan, C.Y. Fan // *Engineering Analysis with Boundary Elements.* — 2016. — V. 67. — P. 115–125.
29. Zhao M.H. Extended displacement discontinuity method for analysis of cracks in 2D piezoelectric semiconductors / M.H. Zhao, Y.B. Pan, C.Y. Fan, G.T. Xu // *International Journal of Solids and Structures.* — 2016. — V. 94–95. — P. 50–59.
30. Zhou Y. Semi-analytical solution for orthotropic piezoelectric laminates in cylindrical bending with interfacial imperfections / Y. Zhou, W.Q. Chen, C.F. Lu // *Composite Structures.* — 2010. — **92**, N 4. — P. 1009–1018.

Надійшла 10.09.2018